

**Proceeding Series of the Brazilian Society of Computational and Applied Mathematics**

---

A Dinâmica das Funções de Taper dos Modelos de Ormerod,  
Demaerschalk e Leite e Garcia

Raylan Ramos de Sa<sup>1</sup>

Departamento de Engenharia Florestal, UFT, Gurupi, TO

Rasdony Klaiver Figueredo Sousa<sup>2</sup>

Departamento de Engenharia Florestal, UFT, Gurupi, TO

Cibele Cristina Trinca Watanabe<sup>3</sup>

Departamento de Engenharia de Bioprocessos e Biotecnologia, UFT, Gurupi, TO

Ricardo Augusto Watanabe<sup>4</sup>

Departamento de Matemática Aplicada-IMECC, UNICAMP, Campinas, SP

**Resumo.** As funções de taper são modelos biomatemáticos que visam descrever a forma e o afilamento do diâmetro do fuste das árvores. Tais funções desempenham papel central para o cálculo de biomassa das árvores e sortimentos florestais. Por este motivo, o ajuste das funções de taper implica obter uma boa aproximação ou melhora na estimativa dos multiprodutos madeiros: diâmetros, alturas e volumes parciais, totais e comerciais de troncos de árvores. O objetivo deste trabalho é o estudo da dinâmica de três modelos de taper os quais são denominados modelo de Ormerod, Demaerschalk e Leite e Garcia.

**Palavras-chave.** Funções de Taper, Ajuste de Funções de Taper, Processos Estocásticos

## 1 Introdução

As funções de taper são modelos biomatemáticos que visam descrever a forma e o afilamento do diâmetro do fuste das árvores [1, 2, 4]. As funções de taper são aplicadas na determinação de biomassa das árvores, isto é, através da determinação do volume do fuste das árvores é possível estimar três características fundamentais: o diâmetro em qualquer ponto do fuste, a altura no fuste em que se encontra um determinado diâmetro e o volume entre dois pontos quaisquer no fuste. Tais parâmetros permitem calcular diversos multiprodutos das árvores. Consequentemente, as funções de taper são imprescindíveis para estudos nas áreas de biologia, engenharia florestal e indústria extrativista.

Vale ressaltar que o estudo do diâmetro ao longo de um fuste também é motivado por modelos biológicos que visam estudar a geometria do tronco das árvores [3]. Por esta razão, existem na literatura as funções de taper ditas incompatíveis, em que a função de

---

<sup>1</sup>raylangpi2015@gmail.com

<sup>2</sup>rasdony@hotmail.com

<sup>3</sup>cibtrinca@yahoo.com.br

<sup>4</sup>ricardoaw18@gmail.com

taper revela uma boa estimativa para o perfil e subseções da árvore porém o cálculo do volume total, via funções de taper, é contraditório; e existem as funções de taper ditas compatíveis, em que o cálculo de volume e subseções da árvore, via funções de taper, é concordante [2]. O estudo conduzido por Demaerschalk [5,6] revela que há compatibilidade quando o volume total, obtido pela soma dos volumes de todas as seções determinadas através de modelos de taper, é idêntico ao volume definido pela equação de volume (integral da função de taper em relação à medida da altura do fuste da árvore).

Via de regra as funções de taper compatíveis são funções que dependem da altura total da árvore ( $H$ ) (estimativa tabelada segundo o gênero da árvore), de parâmetros de referência da árvore: altura ( $H_r$ ) de referência e diâmetro de referência ( $d_{ap}$ ) (parâmetros em que é realizada a poda ou estudo da árvore, em geral são valores constantes por uma questão de uniformidade para cada gênero de árvore) e de fatores de taper ( $\beta$ ) (responsáveis por descrever a geometria do fuste da árvore. Estes parâmetros são obtidos empiricamente e tabelados segundo o gênero da árvore). Por este motivo as funções de taper são adaptadas para incluir termos adicionais de diâmetro e/ou altura do fuste. São exemplos de funções de taper compatíveis os modelos de Kozak (1969) [7], Demaerschalk (1972) [5], Ormerod (1973) [8] e Leite e Garcia (2001) [9]. Sendo que o modelo de Leite e Garcia é inspirado no modelo de Demaerschalk [9].

Em [10] os modelos de Kozak, Ormerod e Demaerschalk foram modificados a fim de acrescentar parâmetros estocásticos. Tal estudo é motivado por observações biológicas de que a pluviosidade (parâmetro estocástico) afeta diretamente o crescimento das árvores [2]. Segundo [10] é possível analisar a variação de diâmetro, altura e volume ao longo de um fuste frente à tais perturbações estocásticas.

Motivado por [10], este trabalho aborda questões relacionadas à dinâmica dos modelos de taper. O objetivo deste trabalho é discutir e estudar a dinâmica de três modelos de taper: modelo de Ormerod, Demaerschalk e Leite e Garcia por meio de equações diferenciais. Na seção 2 iremos descrever as principais hipóteses de tais modelos bem como descrever seus parâmetros. Na seção 3 iremos introduzir uma dinâmica capaz de descrever a evolução temporal dos modelos. Na seção 4 iremos simular e analisar tal dinâmica sobre o ponto de vista dos parâmetros biológicos e na seção 5 iremos discutir os resultados obtidos.

## 2 Funções de Taper: Modelo de Ormerod Modificado, Demaerschalk e Leite e Garcia

No contexto da área instrumental de mensuração florestal as funções de taper são tradicionalmente obtidas empiricamente, isto é, coletados os dados biológicos é realizado algum método de regressão para estimar os parâmetros (vide [11] para maiores detalhes e para métodos de estimativa envolvendo redes neurais). Desta forma, sabendo-se o gênero da árvore estudada é possível estimar o diâmetro, altura, coeficientes de taper e tempo de poda [4].

Todavia esta abordagem não leva em conta a dinâmica da evolução do crescimento das árvores. Esta seção visa estabelecer os fundamentos dos modelos de Ormerod, Demaerschalk e Leite e Garcia com o objetivo de abordar tais modelos do ponto de vista dinâmico

na seção 4.

Os modelos de Ormerod [8], Demaerschalk [6] e Leite e Garcia [9] consideram o crescimento da árvore uniforme e homogêneo. Tais modelos são dados, respectivamente, pelas seguintes expressões:

$$d = dap \left[ \frac{(H - h)}{(H - H_r)} \right]^{\beta_1} e^{\beta_2 T_x} + \epsilon, \quad (1)$$

$$d = \left[ 10^{\beta_0} dap^{(\beta_1-1)} H^{\beta_2} (H - h)^{\beta_3} \exp(\beta_4 T_x) \right] + \epsilon, \quad (2)$$

$$d = \left[ 10^{(\beta_0)} dap^{\beta_1-1} H^{\beta_2} (H - h)^{\beta_3} \exp\left(\beta_4 \frac{T_x}{dap}\right) \right] + \epsilon \quad (3)$$

onde os parâmetros são:

- $h$  é a altura, medida em metros;
- $d$  é o diâmetro comercial, com ou sem casca, medido em centímetro, na altura  $h$ ;
- $H$  é a altura total, medida em metros;
- $H_r$  é a altura de referência, medida em metros, usualmente é adotado a convenção de 1,30 metros;
- $d_{ap}$  é o diâmetro de referência, medido em centímetro, obtido na altura de referência  $H_r$ ;
- $T_x = 0, 1$  para diâmetro com casca e sem casca, respectivamente;
- $\beta_i$ , para  $i = 0, 1, 2, 3, 4$ , são denominados coeficientes de taper. São parâmetros de regressão e, com exceção de  $\beta_4$  em (3) que possui dimensão de metro, são parâmetros adimensionais;
- $\epsilon$  é o erro aleatório, onde  $\epsilon \sim N(0, \sigma^2)$ .

Os coeficientes de taper são responsáveis por descrever a geometria da fuste da árvore [3]. Uma análise dimensional revela que para os modelos (2) e (3) temos  $\beta_1 + \beta_2 + \beta_3 = 2$ . Note que as equações (1), (2) e (3) revelam que  $d = 0$  ocorre para  $h = H$ , em outras palavras, o diâmetro da árvore é decrescente. Para a equação (1)  $d = dap$  precisamente quando  $h = H_r$ , isto é, o diâmetro de referência é obtido na altura de referência. Ainda para o modelo (1), temos que caso  $\beta_1 \leq 1$  então a forma do tronco será parabólico e caso  $\beta_1 \geq 1$  então a forma do tronco será neiloidal [8].

Ao longo deste trabalho iremos fazer as seguintes hipótese simplificadoras:

1. Por hipótese,  $H_r$  e  $d_{ap}$  são parâmetros fixos para cada espécie de árvore;
2. O diâmetro e a altura da árvore estão sujeitas a uma dinâmica de evolução temporal;
3. Os parâmetros de taper não evoluem com o tempo, isto é, são coeficientes fixos;

4. desconsiderar os inerentes processos aleatórios.

Observe ainda que através da seguinte mudança de variável adimensional  $y = \frac{d}{d_{ap}}$  e  $x = \frac{h}{H}$  é possível concatenar as equações (1), (2) e (3) da seguinte forma:

$$y = \alpha_i(1 - x)^{\gamma_i} \tag{4}$$

onde para a equação (1) temos  $\alpha_1 = \frac{H^{\gamma_1} \exp(\beta_2 T x)}{(H - H_r)^{\beta_1}}$  e  $\gamma_1 = \beta_1$ , para a equação (2) temos  $\alpha_2 = 10^{\beta_0} d_{ap}^{(\beta_1 - 2)} H^{\beta_2} H^{\gamma_3} \exp(\beta_4 T x)$  e  $\gamma_2 = \beta_3$  e para a equação (3) temos  $\alpha_3 = 10^{(\beta_0)} d_{ap}^{\beta_1 - 2} H^{\beta_2} H^{\gamma_3} \exp\left(\beta_4 \frac{T x}{d_{ap}}\right)$  e  $\gamma_3 = \beta_3$ . Pela análise dimensional dos coeficientes de taper, temos que todos os parâmetros  $\alpha_i$  são adimensionais.

Por meio da equação (4), introduziremos na seção 3 uma dinâmica de crescimento da altura da árvore.

### 3 Metodologia

Segundo [2, 4] os modelos de Ormerod, Demaerschalk e Leite e Garcia são aplicáveis às árvores de gênero Pinus e Eucalyptus, portanto faz sentido comparar a dinâmica da evolução de cada modelo de taper.

Por este motivo, em uma primeira aproximação, iremos considerar que a velocidade de crescimento do volume da árvore ( $V$ ) é constante ( $K$ ) e que tanto o raio da seção transversal da árvore quanto a altura da árvore são funções do tempo. Desta forma obtemos,

$$\frac{dV}{dt} = k = 2\pi r \frac{dr(t)}{dt} h + \pi r^2 \frac{dh(t)}{dt} \tag{5}$$

Observe que a derivada de (7) em relação ao tempo para  $\gamma_i$  nulo é constante nula e para  $\gamma_i$  não nulo é dada por:

$$\frac{dy}{dt} = -\alpha_i \gamma_i (1 - x)^{\gamma_i - 1} \frac{dx}{dt} \tag{6}$$

As função de taper (1), (2), (3) fornecem o raio em função do tempo ( $r(t) = d(t)/2$ ). Considerando a condição inicial  $x(0) = H_r/H$ , utilizando a mudança de variável exposta na seção 2, as equações (4) e (6) é possível obter a seguinte equação diferencial ordinária:

$$\begin{cases} \frac{dx(t)}{dt} = \frac{\tilde{K}(1-x(t))^{-2\gamma_i+1}}{-2\gamma_i x(t)+1}, \\ x(0) = \frac{H_r}{H} \end{cases} \tag{7}$$

onde o parâmetro adimensional

$$\tilde{K} = \frac{K}{4\pi H \alpha_i^2 d_{ap}^2} \tag{8}$$

representa a taxa do crescimento volumétrico para determinada função de taper, onde o fator  $H\alpha_i^2 d_{ap}^2$  possui unidade de volume e está associado ao cálculo do volume da árvore através de funções de taper.

A equação (7) é uma equação diferencial ordinária (EDO) de primeira ordem não-linear capaz de descrever a evolução da altura da árvore para os modelos de (1), (2), (3). Na seção 4 iremos simular a equação (7) para diferentes parâmetros biológicos e discutir tais resultados.

## 4 Simulações e Resultados

A literatura fornece diversos valores para a altura, diâmetro e coeficientes de taper para diversos gêneros de árvores [1, 2, 5, 7, 8]. Para efeito de simulação iremos considerar apenas as árvores da espécie *Pinus elliottii*. Segundo [2] tal espécie de pinheiro apresenta altura média total de  $H = 26m$ , diâmetro de referência  $d_{ap} = 0,2m$  e crescimento volumétrico anual médio a partir da idade de maturação de  $V = 0,052m^3/ano$ . Sobre os coeficientes de taper, para esta espécie de árvore com esta altura e diâmetro, temos os valores de  $\beta_0 = -0,6552$ ,  $\beta_1 = 1,476038$ ,  $\beta_2 = -0,65520$  e  $\beta_3 = 1.179162$ . Por meio de tais valores é possível calcular os parâmetros  $\alpha_i$  bem como a taxa de crescimento volumétrico  $\tilde{K}$ . Também iremos considerar apenas o caso das árvores com casca, isto é,  $Tx = 0$  uma vez que a ausência de casca é de ordem de grandeza desprezível.

Uma maneira de estudar a equação (7) é por meio da análise do campo de direções para diferentes valores de  $\tilde{K}$  e  $\gamma_i$  ( Figuras 1,2,3,4). A equação (7) revela que existem descontinuidades quando  $x_1(t) = 1$  e  $x_2(t) = 1/2\gamma_i$  (retas verticais nas Figuras 1,2,3). É possível estudar a região entre tais descontinuidades. Na Figura 1 existe um efeito repulsivo nas vizinhanças de  $x(0)$  até  $x_1$  e outro efeito repulsivo para  $x(t) > x_1$ , assim para valores de  $\gamma_i$  negativos o diâmetro decresce rapidamente como era esperado; a região  $x(x) < x(0)$  não possui sentido biológico. Para valores de  $\gamma_i$  positivos, como nas Figuras 2 e 3, existe um efeito atrativo nas vizinhanças de  $x_2$  ( $x_0 < x(t) < x_2$ ), o valor de  $x_2$  se desloca para diferentes valores de  $\gamma_i$  e ainda o campo de direções sofre uma inflexão devido á mudança de velocidade e direção ( $x_2 < x(t) < x_1$ ) que é proporcional ao valor de  $\tilde{K}$ .

Note ainda que é possível resolver a EDO (7) explicitamente. Por exemplo para o caso particular de  $\gamma_i = 1/2$  temos

$$\begin{cases} \frac{dx(t)}{dt} = \frac{\tilde{K}}{1-x} \\ x(0) = \frac{H_r}{H} \end{cases} \quad (9)$$

Cujo plano de fase está representada na Figura 4 para diferentes valores de  $\tilde{K}$ . Observe ainda na Figura 4 a transição de fase que ocorre a medida que o parâmetro  $\gamma$  aumenta. A solução de (9) é dada por:

$$x(t) = 1 - \left(1 - \frac{H_r}{H}\right) \exp(-\tilde{K}t) \quad (10)$$

Vale notar que (9) é condizente com o modelo (7) pois o limite  $x(t \rightarrow 0) = H_r/H$  representa o valor inicial e  $x(t \rightarrow \infty) = 1$  representa a altura máxima.

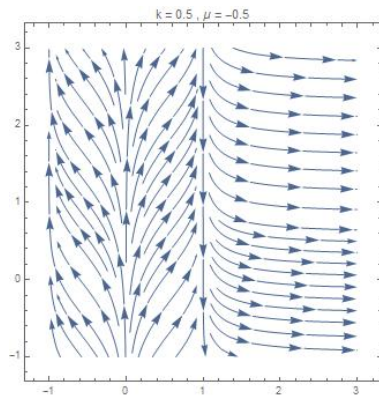


Figura 1: Modelo de Ormerod com casca refinado.

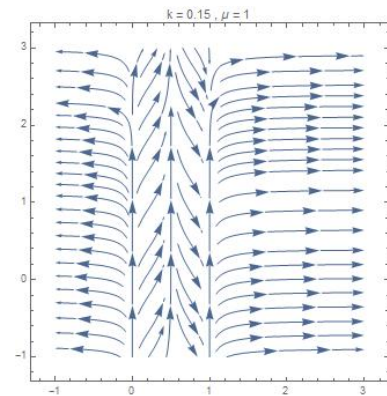


Figura 2: Modelo de Ormerod sem casca refinado.

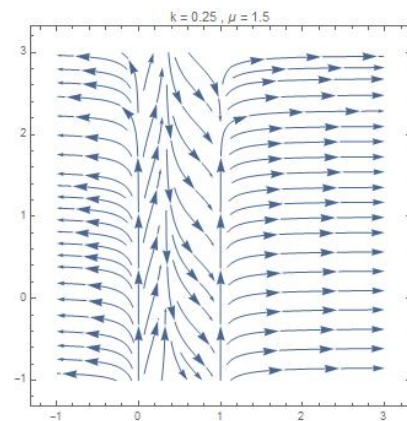


Figura 3: Modelo de Ormerod com casca refinado.

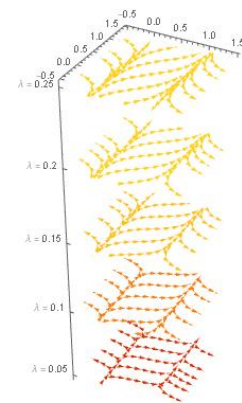


Figura 4: Planos de fase da eq. (7) para diferentes valores de  $\tilde{K}$ .

## 5 Conclusões

A dinâmica de crescimento da altura das árvores de gênero Pinus Eucalyptus pode ser modelada, a partir das funções de taper apresentadas na seção 2, pela equação (7). O campo de direções de (7) revela efeitos de transição de fase em determinadas regiões, como observado na seção 4. No contexto da área de engenharia florestal tal abordagem é inovadora pois agrega diferentes modelos e permite estudar a evolução da altura da árvore em questão em função de parâmetros biológicos implícitos nos parâmetros  $\alpha_i$  tais como pluviosidade, qualidade do solo e quantidade de luz.

Existem limitações para tal abordagem apresentada. Por exemplo, o modelo de Kozak é um modelo polinomial e não pode ser abordado da mesma forma. Outro ponto limitante é que as hipóteses simplificadoras 3 e 4 da seção 2 não são condizentes com a realidade: a pluviosidade é um processo estocástico que interfere na forma e no crescimento da árvore. Por este motivo, em trabalhos futuros, a modelagem da dinâmica das funções de taper

deve incorporar os parâmetros biológicos implícitos e se valer de equações diferenciais estocásticas.

## Agradecimentos

O presente trabalho foi realizado com o apoio da Universidade Federal do Tocantins (UFT) e os autores agradecem ao Conselho Nacional de Desenvolvimento Científico e Tecnológico (CNPq).

## Referências

- [1] J. F. Borges, Seccionamento do fuste de *Pinus taeda* L. para a obtenção do volume de madeira serrada através da função de forma polinomial, Dissertação de Mestrado, UFPR, 1981.
- [2] J. C. C. Campos and H. G. Leite. *Mensuração Florestal: perguntas e respostas*. Editora UFV, Viçosa-MG, 2016. ISBN: 857269465X.
- [3] R. R. Forslund. A geometrical tree volume model based on the location of the centre of gravity of the bole, *Can. J. For. R.*, 12(2): 215–221, 1982.
- [4] J. A. Kershaw Jr., M. J. Ducey, T. W. Beers, B. Husch, *Forest Mensuration, 5a edição*. John Wiley and Sons, New Jersey, 2016.
- [5] J. P. Demaerschalk. Integrated systems for the estimation of tree taper and volume, *Can. J. For. R.*, 03:90–94, 1972.
- [6] J. P. Demaerschalk. Converting volume equations to compatible taper equations, *Forest Science*, 18:241–245, 1972.
- [7] A. Kozak, D. D. Munro and J. H. G. Smith. Taper functions and their application in forest inventory, *Forestry Chronicle*, 45:278–283, 1969.
- [8] D. W. Ormerod. A simple bole model, *Forestry Chronicle*, 49:136–138, 1973.
- [9] H. G. Leite, S. L. R. Garcia. Pesquisa e desenvolvimentos em inventário, mensurações e manejo florestal na CENIBRA, *Investigações Florestais*, 3:49-56, 2001.
- [10] de Sa, R. R. ; Santos, B. M. M. ; Rosa, P. H. L. ; Sousa, R. K. F. ; Resende, C. R. ; Trinca, C. C. ; Watanabe, R. A. Aspectos Biomatemáticos de Funções de Taper via Conceitos Estocásticos, *Proceeding Series of the Brazilian Society of Computational and Applied Mathematics*, volume 2, 2018. <https://doi.org/10.5540/03.2018.006.02.0256>
- [11] F. A. A.M.N. Soares, E. L. Flôres, C. D. Cabacinha, G. A. Carrijo, A. C. P. Veiga. Recursive diameter prediction for calculating merchantable volume of *Eucalyptus* clones without previous knowledge of total tree height using artificial neural networks. *Appl. Soft Comp.*, 12(8): 2030–2039, 2012.